

九州工業大学 学生員○中川 進
正員 加藤功男
" " 山本 宏

1. まえがき

近年、交通量の増加とともに道路網が拡大され、直線橋について、多くの研究が行われているが、直線は、一般に地形になじみにくく、特に我が国のように地形の変化の激しい所では、できるだけ地形の変化に合せることが建設費、設計、施工の面からも好ましいので、曲線橋の研究が重要であることは周知の通りである。そこで本報告では、図-1に示すような曲線斜張橋の構造解析について考察する。解析には、有限要素法を用い、変形法の立場をとるものとする。

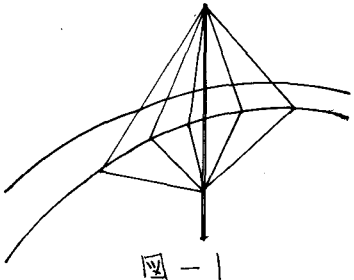


図-1

2. 基本式

軸力、せん断力、ねじり、曲げを同時に受けける曲線部材の剛性方程式を求める。曲線部材には円弧を選び、ここでいう円弧部材とは、その材軸が一平面内で円弧をなすものとし、その中心角 α 、半径を R とする。円弧部材の任意の点で接線(x)、法線(y)、ならびに材軸正値を面に直角の方向(z)を考えこれを部材座標系にえらび、図-2に示す方向を正とする。節点力はX、Y、Zである。X、Y、Z方向の力を X 、 Y 、 Z 、 X 、 Y 、 Z 軸まわりのモーメントを M_x^x 、 M_y^y 、 M_z^z と表わし、節点変位は x 、 y 、 z 方向の変位を u 、 v 、 w 、 X 、 Y 、 Z 軸まわりの回転角を θ_x^x 、 θ_y^y 、 θ_z^z と表めることにする。節点A、Bでの節点力、節点変位を図-2に示す符号で表わし、ひずみエネルギーを用いて、節点力 $(U_a, U_b, W_a, W_b, \theta_a^x, \theta_b^x)$ と節点変位の関係式(1)のように求めることができる。

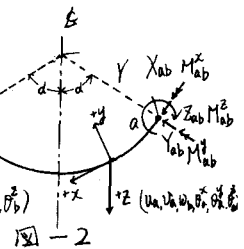


図-2

$$\begin{matrix} X_{ab} \\ Y_{ab} \\ Z_{ab} \\ M_{ab}^x \\ M_{ab}^y \\ M_{ab}^z \\ X_{ba} \\ Y_{ba} \\ Z_{ba} \\ M_{ba}^x \\ M_{ba}^y \\ M_{ba}^z \end{matrix} = \frac{2EI}{RdY} \begin{pmatrix} A & \frac{3B}{(2dY)} & 0 & 0 & 0 & \frac{3C}{2dY} & G & \frac{3H}{(2dY)^2} & 0 & 0 & 0 & \frac{3J}{2dY} \\ \frac{3D}{(2dY)^2} & 0 & 0 & 0 & 0 & \frac{3E}{2dY} & -\frac{3H}{(2dY)} & -\frac{3K}{(2dY)^2} & 0 & 0 & 0 & \frac{3N}{2dY} \\ \frac{3F}{(2dY)} & -\frac{3E}{2dY} & -\frac{3C}{2dY} & 0 & 0 & 0 & -\frac{3F}{2dY} & \frac{3E}{2dY} & -\frac{3G}{2dY} & 0 & 0 & 0 \\ D & -B & 0 & 0 & 0 & \frac{3H}{2dY} & II & H & 0 & 0 & 0 & \theta_a^x \\ A & 0 & 0 & 0 & \frac{3E}{2dY} & II & G & 0 & 0 & 0 & \theta_a^y \\ F & \frac{3J}{2dY} & -\frac{3M}{2dY} & 0 & 0 & 0 & 0 & 0 & 0 & I, & \theta_a^z \\ A & -\frac{3B}{(2dY)} & 0 & 0 & 0 & \frac{3C}{2dY} & 0 & 0 & 0 & U_b & \\ \frac{3D}{(2dY)} & 0 & 0 & 0 & 0 & -\frac{3E}{2dY} & 0 & 0 & 0 & V_b & \\ \frac{3F}{(2dY)^2} & -\frac{3E}{2dY} & \frac{3C}{2dY} & 0 & 0 & 0 & 0 & 0 & 0 & W_b & \\ D & B & 0 & 0 & 0 & 0 & 0 & 0 & 0 & \theta_b^x & \\ A & 0 & 0 & 0 & 0 & 0 & 0 & 0 & 0 & \theta_b^y & \\ F & 0 & 0 & 0 & 0 & 0 & 0 & 0 & 0 & \theta_b^z & \end{pmatrix} \begin{matrix} U_a \\ V_a \\ W_a \\ \theta_a^x \\ \theta_a^y \\ \theta_a^z \\ U_b \\ V_b \\ W_b \\ \theta_b^x \\ \theta_b^y \\ \theta_b^z \end{matrix} \quad (1)$$

SYM.

式(1)を次のように書くこととする。

$$\{f\} = [K_C]\{\delta\} \quad (2)$$

は式中の λ は弦長であり、 A, B, C, \dots (式 B) のように部材の幾何学的形状と材料の係数および横弹性俢数によつて定まる定数である。たとえば、

$$A = \frac{d}{2} \left\{ d(\sin 4\lambda - 4)(1 + \lambda) + (3 - 4\cos 2\lambda + \cos 4\lambda) \right\}^2 / L_1$$

$$B = 2d^2 \left\{ (1 - \cos 4\lambda)(1 + \lambda) + (\sin 4\lambda - 2\sin 2\lambda)^2 \right\} / L_1$$

$$C = \frac{d^2}{2} \left\{ 2d(4\lambda - 2\sin 2\lambda - \sin 4\lambda)(1 + \lambda) + (1 - \cos 4\lambda)\lambda - 5 + 8\cos 2\lambda - 3\cos 4\lambda \right\} / L_1$$

$$D = 2d^3 P^2 \left\{ d(4\lambda - \sin 4\lambda)(1 + \lambda)^2 + (1 - \cos 4\lambda)^2 \right\} / L_1$$

$$E = \frac{d^2}{2} \left\{ d(-3 + \cos 4\lambda + 2\cos 2\lambda)(P^2 + \lambda) + (2\sin 4\lambda - 2\sin 2\lambda)(3P^2 + \lambda) \right\} / L_1$$

$$A = [2d^2 \left\{ d(1 + \lambda) - (1 - \lambda) \frac{\sin 4\lambda}{2} \right\} - d\lambda^2 \sin^2 d] / L_2$$

$$B = d\lambda^2 \sin^2 d [(-1 - 3\lambda) \sin 2\lambda - 2d((1 - \lambda)(\cos 2\lambda - \cos 4\lambda))] / L_2$$

$$C = 2d^2 \sin^2 d [2d(1 + \lambda) + (-\lambda) \sin 2\lambda] / L_2$$

$$D = [d^2(1 + \lambda)^2 d(1 + \lambda) - 2\lambda^2 \sin^2 d - 4d^3] \frac{\sin 4\lambda}{4} (4\lambda \cos 2\lambda - (4 + 3\lambda) \sin 2\lambda) / L_2$$

$$E = 2d^2(1 + \lambda) [d^2(1 + \lambda) + d\lambda^2 \sin^2 d + (-\lambda) \frac{\sin 4\lambda}{4}] / \lambda L_2$$

省略

省略

(3)

$$L_1 = \frac{d}{4} (P^2 + \lambda) \left\{ 2d(4\lambda + 2\sin 4\lambda - 4\cos 2\lambda - 2\sin 2\lambda) + (1 - \cos 4\lambda - 8\lambda^2)(P^2 + \lambda) \right\} \quad L_2 = 2[d(1 + \lambda) \left\{ d(1 + \lambda) - 2\lambda \sin 2\lambda \right\} - (-\lambda) \sin 4\lambda] / d(1 - \lambda) (\cos^2 d + \lambda^2 \sin^2 d)$$

$$\lambda = \frac{EI}{EA}, \quad \lambda_2 = \frac{EI}{GJ} \quad (EI: \text{曲げ剛度}, GJ: \text{ねじり剛度})$$

式(3)の極限値は、周知の直線部材の剛性マトリックス $[K_D]$ に他ならぬ。

3. 曲線斜張橋の解析

図-3 は円弧部材を同心円状にならべて主軸とし、これに交わる直線部材を横断とし、内側主軸の節点にローパーを取りつけた曲線斜張橋である。(図-1 参照)

主軸が同心円状にならべてあるので全体座標系を円弧部材の部材座標系と同じにとれば、式(1)が全体座標系における円弧部材の剛性マトリックスとなる。次にローパーの部材座標系における剛性マトリックスは、ローパーには、曲げやねじりは働くが、軸力のみを考えればよいので剛性マトリックス $[K_D]$ の曲げとねじりの項を 0 とすればよい。ローパーや直線部材については、部材座標系 (x, y, z) を全体座標系 (\bar{x} , \bar{y} , \bar{z}) に変換するには、次式(4)のような変換マトリックスを用いればよい。

$$T = \begin{bmatrix} 1 & & \\ & 1 & \\ & & 1 \end{bmatrix} \quad \cdots \quad (4)$$

ここで

$$\Lambda = \begin{bmatrix} \bar{x} & \bar{y} & \bar{z} \\ \bar{y} & \bar{x} & \bar{z} \\ \bar{z} & \bar{y} & \bar{x} \end{bmatrix}$$

ただし、 \bar{x} 軸は、部材座標系の P 軸が全体座標系の \bar{z} 軸に対してなす角の余弦である。

したがって、全体座標系におけるローパーの剛性マトリックスは、

$$[K_R] = [T_R]^T [K_D] [T_R] \quad \cdots \quad (5)$$

又、全体座標系における直線部材の剛性マトリックスは、

$$[K_D] = [T_D]^T [K_D] [T_D] \quad \cdots \quad (6)$$

で求められる。以上の剛性マトリックス $[K_D]$, $[K_R]$, $[K_D]$ を適用すれば、曲線斜張橋の剛性方程式が求められるのである。このマトリックスの要素の配列には規則性があり、全く機械的に作ることがで、その規則性を利用して、主軸ならびに横断の数が増えて、節点数が多くなっても簡単にマトリックスを作ることができるなどは、周知の通りである。

4. 結論

以上をまとめれば、

1) 曲げ、ねじりおよび軸方向力を考慮した円弧部材の剛性マトリックスを明らかにし、その要素に含まれる係数を求めた。

(2) この剛性マトリックスが直線部材の剛性マトリックスをも含んでいることを示す。

(3) この部材剛性マトリックスをもとに、曲線斜張橋の剛性方程式を求めたのであるが、

(4) このような構造解析には電子計算機を用いれば、機械的仕事になってしまふ。

なお、数値計算の結果については、講演当日に報告する予定である。

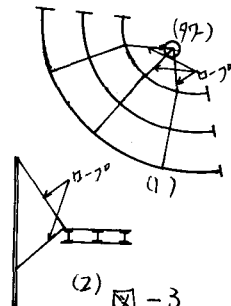


図-3

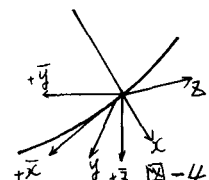


図-4